

高效液相色谱化学发光测定中药制剂中 2,3,5,4'-四羟基二苯乙烯-2-O- β -D-葡萄糖苷

卫洪清^{1,2}, 刘二保^{1*}, 任荣芳¹, 赵秀丽², 李晓霞², 江凤仙²

1. 天津师范大学化学与生命科学学院, 天津 300074

2. 山西师范大学化学与材料科学学院, 山西 临汾 041004

摘要 研究了2,3,5,4'-四羟基二苯乙烯-2-O- β -D-葡萄糖苷在硝酸介质中与高锰酸钾的发光行为和光谱现象, 甲醛的存在可使化学发光强度大大增强。由于中药制剂成分复杂, 干扰大, 文章首次采用反相高效液相色谱化学发光技术, 建立了一种测定中药制剂中2,3,5,4'-四羟基二苯乙烯-2-O- β -D-葡萄糖苷含量的新方法。对于不同中药制剂样品中2,3,5,4'-四羟基二苯乙烯-2-O- β -D-葡萄糖苷测定的回收率为102%~108%。方法的检出限为 $11.83 \mu\text{g} \cdot \text{mL}^{-1}$, 线性范围为 $15.75 \sim 136.5 \mu\text{g} \cdot \text{mL}^{-1}$, 相对标准偏差为3.45%($\text{Cs}=21.0 \mu\text{g} \cdot \text{mL}^{-1}, n=3$)。此法简便、快速, 重复性好, 结果令人满意。

主题词 高效液相色谱; 化学发光分析; 高锰酸钾; 2,3,5,4'-四羟基二苯乙烯-2-O- β -D-葡萄糖苷

中图分类号: O657.3 **文献标识码:** A **文章编号:** 1000-0593(2005)06-0844-04

引言

药物分析是分析化学的一个重要领域^[1-3], 而中药有效成分分析已成为该领域的一个热点^[4-6]。2,3,5,4'-四羟基二苯乙烯-2-O- β -D-葡萄糖苷(其结构见图1)是中药何首乌(*radix polygonum multiflorum*)中具有显著生理活性的水溶性有效成分, 具有抗衰老、降血脂药理药效^[7]及明显降低胆固醇的作用^[8]和保肝作用^[9], 中国药典2000年版^[10]已将2,3,5,4'-四羟基二苯乙烯-2-O- β -D-葡萄糖苷定为何首乌药材的质量控制指标。

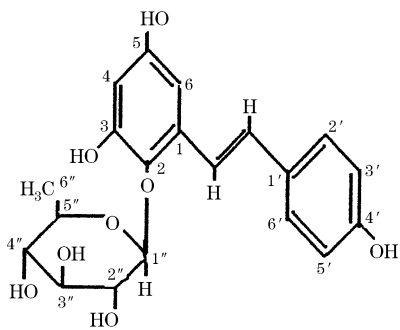


Fig. 1 Structure of 2,3,5,4'-tetrahydroxystilbene-2-O- β -D-glucoside

文献报道^[11~15]曾用薄层扫描法、紫外分光光度法、荧光分光光度法、酶化学发光法、高效毛细管电泳法等测定2,3,5,4'-四羟基二苯乙烯-2-O- β -D-葡萄糖苷的含量, 而用反相高效液相色谱法测定2,3,5,4'-四羟基二苯乙烯-2-O- β -D-葡萄糖苷也多用紫外光谱检测^[16, 17]。反相高效液相色谱化学发光法测定2,3,5,4'-四羟基二苯乙烯-2-O- β -D-葡萄糖苷, 还未见文献报道。本文首次发现, 在硝酸介质中, 高锰酸钾能氧化2,3,5,4'-四羟基二苯乙烯-2-O- β -D-葡萄糖苷产生化学发光, 但是发光效率很低, 信号很弱, 而甲醛的存在可以大大增强该反应的发光强度。根据这一发现, 提出并建立了反相高效液相色谱化学发光法测定中药制剂中2,3,5,4'-四羟基二苯乙烯-2-O- β -D-葡萄糖苷的新方法。该方法已成功地用于中药制剂中2,3,5,4'-四羟基二苯乙烯-2-O- β -D-葡萄糖苷含量的测定, 结果令人满意。

1 实验部分

1.1 主要仪器和试剂

HP-1050Q型高效液相色谱仪(惠普公司); 自动进样器(惠普公司); 工作站(惠普3365软件), 八通道蠕动泵及化学发光检测仪(西安瑞迈电子科技有限公司); 色谱柱:hypersil ODS($125 \text{ mm} \times 4.0 \text{ mm i. d.}, 5 \mu\text{m}$); 何首乌根(安徽亳州); 首乌延寿片(兰州佛慈制药股份有限公司, 20020402); 养血生发胶囊(天津市第五中药厂, 0211103); 水为 $18 \text{ M}\Omega$ 的纯

收稿日期: 2003-12-16, 修订日期: 2004-03-28

基金项目: 国家自然科学基金(20075017), 山西省自然科学基金(20021022)和天津师范大学校基金资助项目

作者简介: 卫洪清, 女, 1965年生, 山西师范大学化学与材料科学学院实验师 * 通讯联系人

净水(Ultra-pure water system, Germany)。

2,3,5,4'-四羟基二苯乙烯-2-O- β -D-葡萄糖苷标准溶液 210 $\mu\text{g} \cdot \text{mL}^{-1}$: 准确称取 0.021 0 g 2,3,5,4'-四羟基二苯乙烯-2-O- β -D-葡萄糖苷(中国药品生物制品检定所)于 100 mL 容量瓶中, 用 7.5 mL 乙醇(95%)溶解后, 用水定容, 摆匀, 作为标准储备液, 使用时用水逐级稀释至所需浓度; 高锰酸钾储备液: 0.1 mol $\cdot \text{L}^{-1}$; 甲醛溶液: 7.0%(φ)。所用试剂均为分析纯, 水为二次去离子水。

1.2 实验步骤

准确移取一定体积的 2,3,5,4'-四羟基二苯乙烯-2-O- β -D-葡萄糖苷标准溶液或样品溶液于 25 mL 容量瓶中, 加水稀释至标线, 摆匀, 作为试液, 如图 2 所示, 未加入样品时, 由蠕动泵以 0.18 $\text{mL} \cdot \text{min}^{-1}$ 的速度输入高锰酸钾、甲醛和硝酸, 记录仪出现一预定的本底信号, 加入 20 μL 样品后, 流动相以 0.8 $\text{mL} \cdot \text{min}^{-1}$ 的流速带动样品通过色谱分离, 分离后的物质直接进入柱后化学发光体系, 此时, 发光信号出现正峰即增强信号, 测定 2,3,5,4'-四羟基二苯乙烯-2-O- β -D-葡萄糖苷依据为 $\Delta = I_s - I_0$, 其中 I_s 为有样品存在时的发光强度值, I_0 为无样品存在时的发光强度值。

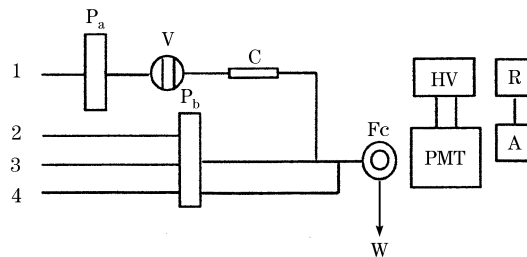


Fig. 2 Schematic diagram of flow injection chemiluminescence analyzer

- (1) 2,3,5,4'-tetrahydroxystilbene-2-O- β -D-glucoside;
- (2) KMnO₄;
- (3) HCHO;
- (4) HNO₃;
- P_a, High pressure pump;
- P_b, Peristaltic pump;
- C, Analysis column;
- V, Injection valve;
- Fc, Flow cell;
- W, Waste;
- HV, High voltage;
- PMT, Photo-multiplier;
- R, Recorder;
- A, Amplifier

2 结果与讨论

2.1 流路参数的选择

在高锰酸钾浓度为 7.0 $\times 10^{-5}$ mol $\cdot \text{L}^{-1}$, 甲醛溶液 7.0%(φ), 硝酸浓度为 2.5 mol $\cdot \text{L}^{-1}$, 2,3,5,4'-四羟基二苯乙烯-2-O- β -D-葡萄糖苷浓度为 21.0 $\mu\text{g} \cdot \text{mL}^{-1}$, 实验了流路参数对发光的影响, 结果表明当各管路中试液流速为 0.18 mol $\cdot \text{L}^{-1}$, 流通管内径为 0.8 mm, 最后混合点距测量池 5 cm 时具有最大的化学发光强度。

2.2 化学发光反应动力学性质

由图 3 可见, 高锰酸钾-硝酸-甲醛-2,3,5,4'-四羟基二苯乙烯-2-O- β -D-葡萄糖苷体系的化学发光反应为快反应, 反应开始到发光强度最大值, 历时仅 2 s。

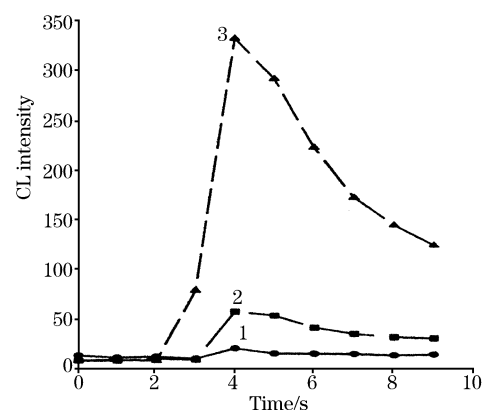


Fig. 3 Chemiluminescence kinetic curves

- (1) KMnO₄ (3.5 $\times 10^{-5}$ mol $\cdot \text{L}^{-1}$) - HNO₃ (1.25 mol $\cdot \text{L}^{-1}$); - 2,3,5,4'-tetrahydroxystilbene-2-O- β -D-glucoside (11.5 $\mu\text{g} \cdot \text{mL}^{-1}$);
- (2) KMnO₄ (3.5 $\times 10^{-5}$ mol $\cdot \text{L}^{-1}$) - HNO₃ (1.25 mol $\cdot \text{L}^{-1}$) - HCHO (1.17%);
- (3) KMnO₄ (3.5 $\times 10^{-5}$ mol $\cdot \text{L}^{-1}$) - HNO₃ (1.25 mol $\cdot \text{L}^{-1}$) - 2,3,5,4'-tetrahydroxystilbene-2-O- β -D-glucoside (11.5 $\mu\text{g} \cdot \text{mL}^{-1}$) - HCHO (1.17%)

2.3 发光条件的选择

2.3.1 反应介质及其浓度

分别以 0.1~4.0 mol $\cdot \text{L}^{-1}$ 的盐酸、磷酸、硝酸、硫酸为反应介质, 测量高锰酸钾-甲醛-2,3,5,4'-四羟基二苯乙烯-2-O- β -D-葡萄糖苷体系反应的化学发光强度, 结果表明, 在硝酸介质中发光强度最大且背景噪音最低。化学发光强度在一定范围内随硝酸浓度的增大而增大, 当硝酸浓度为 2.5 mol $\cdot \text{L}^{-1}$ 时, 发光强度最大, 当硝酸浓度超过 3.5 mol $\cdot \text{L}^{-1}$ 时, 发光信号反而减小。本文所选硝酸浓度为 2.5 mol $\cdot \text{L}^{-1}$ (如图 4 所示)。

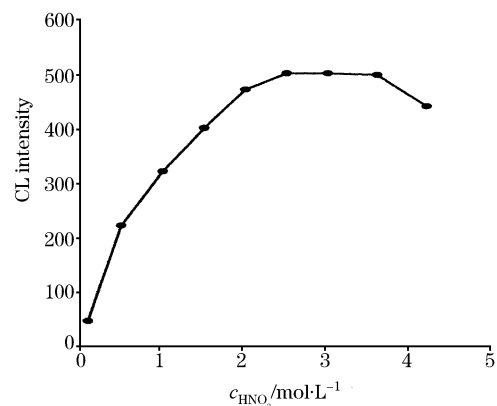


Fig. 4 Influence of HNO₃ concentration on CL intensity

- (1) HCHO(11%);
- (2) KMnO₄ (3.0 $\times 10^{-5}$ mol $\cdot \text{L}^{-1}$);
- (3) 2,3,5,4'-tetrahydroxystilbene-2-O- β -D-glucoside (69.0 $\mu\text{g} \cdot \text{mL}^{-1}$)

2.3.2 高锰酸钾浓度的选择

高锰酸钾在此化学发光反应中是氧化剂, 影响反应的化学发光强度。本文试验了高锰酸钾浓度对化学发光强度的影

响。结果表明, 选择高锰酸钾的浓度为 $7.0 \times 10^{-5} \text{ mol} \cdot \text{L}^{-1}$ 时, 化学发光强度最大, 如图 5 所示。

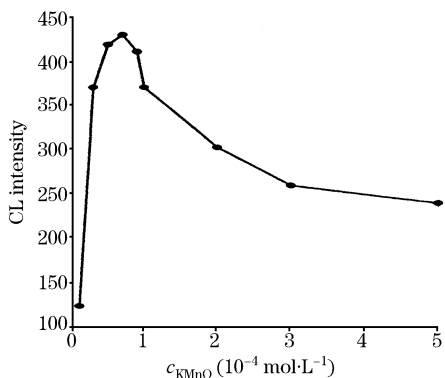


Fig. 5 Influence of KMnO_4 concentration on CL intensity

$\text{HNO}_3(2.5 \text{ mol} \cdot \text{L}^{-1})$; $\text{HCHO}(11\%)(\varphi)$;
 $2,3,5,4'-\text{tetrahydroxystilbene-2-O-}\beta\text{-D-glucoside}(69.0 \mu\text{g} \cdot \text{mL}^{-1})$

2.3.3 甲醛浓度的选择

在 $\text{KMnO}_4\text{-HNO}_3\text{-}2,3,5,4'$ -四羟基二苯乙烯-2-O- β -D-葡萄糖苷发光体系中, 对甲醛、甲酸、亚硫酸钠、硫代硫酸钠、 Tb^{3+} 五种增敏剂进行了选择。结果表明, 甲醛对此发光体系的增强作用最强。同时, 对 SDS ($1 \times 10^{-3} \text{ mol} \cdot \text{L}^{-1}$, $1 \times 10^{-2} \text{ mol} \cdot \text{L}^{-1}$), CTMAB($1 \times 10^{-3} \text{ mol} \cdot \text{L}^{-1}$, $1 \times 10^{-2} \text{ mol} \cdot \text{L}^{-1}$), Tween-80 ($1 \times 10^{-4} \text{ mol} \cdot \text{L}^{-1}$, $1 \times 10^{-3} \text{ mol} \cdot \text{L}^{-1}$, $1 \times 10^{-2} \text{ mol} \cdot \text{L}^{-1}$) 三种表面活性剂进行了选择, 结果表明, 这三类表面活性剂对 $\text{KMnO}_4\text{-HNO}_3\text{-HCHO-}2,3,5,4'$ -四羟基二苯乙烯-2-O- β -D-葡萄糖苷体系无增敏作用。

甲醛在此化学发光反应中是增敏剂, 甲醛的存在可以大大增强化学发光强度。实验表明, 化学发光强度随甲醛浓度的增大而增大(如图 6 所示)。考虑到信噪比, 实验中选用 7.0%(φ)的甲醛溶液。

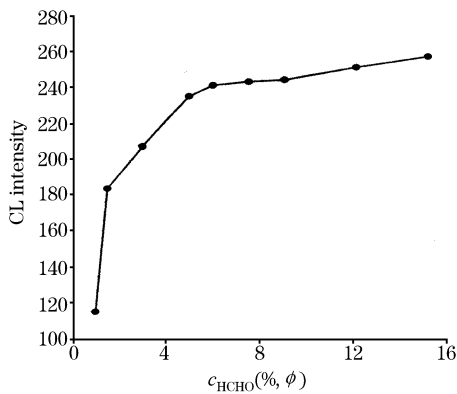


Fig. 6 Influence of HCHO concentration on CL intensity

$\text{HNO}_3(2.5 \text{ mol} \cdot \text{L}^{-1})$; $\text{KMnO}_4 7.0 \times 10^{-5} \text{ mol} \cdot \text{L}^{-1}$;
 $2,3,5,4'-\text{tetrahydroxystilbene-2-O-}\beta\text{-D-glucoside}(69.0 \mu\text{g} \cdot \text{mL}^{-1})$

2.4 色谱条件的选择

对 $2,3,5,4'$ -四羟基二苯乙烯-2-O- β -D-葡萄糖苷的色谱分离常采用反相色谱, 而流动相的组成、浓度、pH 值等因素对色谱分离和化学发光反应均有影响。实验表明, 使用 hypersil ODS($125 \text{ mm} \times 4.0 \text{ mm i.d.}, 5 \mu\text{m}$)色谱柱时, 当流速为 $0.8 \text{ mol} \cdot \text{L}^{-1}$, 柱温 40°C ; 流动相为乙腈: $0.3\% \text{ H}_3\text{PO}_4 = 25:75$ 时, 分离效果较好, 增强效果明显。

2.5 线性范围及检出限

在选定的最佳实验条件下, $2,3,5,4'$ -四羟基二苯乙烯-2-O- β -D-葡萄糖苷浓度在 $15.75 \sim 136.5 \mu\text{g} \cdot \text{mL}^{-1}$ 范围内与发光强度呈良好的线性关系。对浓度为 $21.0 \mu\text{g} \cdot \text{mL}^{-1}$ 的 $2,3,5,4'$ -四羟基二苯乙烯-2-O- β -D-葡萄糖苷进行 3 次平行测定, 得方法的相对标准偏差为 3.45%。根据 IUPAC 规定, 以 3 倍的空白标准偏差为标准, 计算得方法的检出限为 $11.83 \mu\text{g} \cdot \text{mL}^{-1}$ 。

2.6 实际样品的色谱分离及分析

何首乌根: 精称样品 0.2385 g , 按照国家药典(一部)方法处理后用于分析; 首乌延寿片: 精称药片 0.2008 g , 去糖衣后, 磨碎, 加入 50% 的乙醇溶解, 置于 25 mL 容量瓶定容, 密塞称重, 超声处理 30 min 后取出, 称重, 补足所失重量, 摆匀, 过滤后用于分析; 养血生发胶囊: 精称本品内容物 0.7804 g , 于 25 mL 容量瓶中, 用 50%~70% 甲醇定容, 密塞称重, 超声处理 30 min 后过滤, 取 15 mL 过滤液于 25 mL 的圆底烧瓶中, 减压浓缩至约 3 mL , 加入 10 mL 水, 摆匀, 再加入乙酸乙酯萃取 3 次(10 mL /次), 合并萃取液后, 蒸干, 再用甲醇复溶, 定至 3 mL , 进样分析。在最佳条件下, 按图 2 所示流路进行分离与检测, 在 3 min 内完成, $2,3,5,4'$ -四羟基二苯乙烯-2-O- β -D-葡萄糖苷与干扰组分的分离(见图 7)。采用标准加入法作回收率实验, 平均测定 3 次, 不同样品的测定结果见表 1。

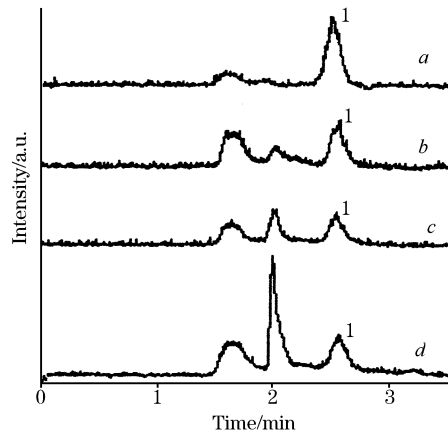


Fig. 7 HPLC-CL chromatogram

a, $69.0 \mu\text{g} \cdot \text{mL}^{-1}$ of $2,3,5,4'-\text{tetrahydroxystilbene-2-O-}\beta\text{-D-glucoside}$ standard solution;
b, Radix polygoni multiflori; c, Caulis polygoni prolong life tablet;
d, Yangxueshengfa capsules; $t_R = 2.63 \text{ min}$

Table 1 Analytical results of samples

样品	样品中含量	加入量/mg	测得值/mg	回收率/%	相对标准偏差 RSD/%
何首乌根(安徽亳州)	0.034 78 g·g ⁻¹	3.15×10 ⁻⁴	3.39×10 ⁻⁴	108	5.0
首乌延寿片	0.017 31 g·g ⁻¹	3.15×10 ⁻⁴	3.21×10 ⁻⁴	102	5.3
养血生发胶囊	1.653 9 mg·g ⁻¹	6.30×10 ⁻⁴	6.48×10 ⁻⁴	102	2.2

参 考 文 献

- [1] LU Yan-wei(卢彦伟). Spectroscopy and Spectral Analysis(光谱学与光谱分析), 2003, 23(4): 759.
- [2] JIANG Cong-qiu, GAO Ming-xia(江崇球, 高明霞). Spectroscopy and Spectral Analysis(光谱学与光谱分析), 2003, 23(5): 937.
- [3] XU Yong-qun, SUN Su-qin, FENG Xue-feng, HU Shi-lin(徐永群, 孙素琴, 冯学峰, 胡世林). Spectroscopy and Spectral Analysis(光谱学与光谱分析), 2003, 23(3): 502.
- [4] WANG Zhen-gang, et al. Trends in Pharmacological Sciences, 2002, 23(8): 347.
- [5] Ku Yoe-ray, et al. J. Chromatography A, 1999, 848: 537.
- [6] Lau Aik-Jiang. J. Pharmaceutical and Biomedical Analysis, 2003, 31(2): 401.
- [7] DENG Wen-long, et al(邓文龙, 等). J. Chinese Herbal Medicine(中草药), 1987, 18(3): 42.
- [8] MEI Mei-zhen, et al(梅美珍, 等). Acta Pharmaceutica Sinica(药学学报), 1979, 14(1): 8.
- [9] SU Wei, et al(苏 玮, 等). J. Chinese Herbal Medicine(中草药), 1997, 28(2): 119.
- [10] Pharmacopoeia Committe of Ministry of Public Health, P. R. China(中华人民共和国卫生部药典委员会编). The Pharmacopoeia of People's Republic of China(Part 1)(中华人民共和国药典·一部). Beijing: Chemical Industry Press(北京: 化学工业出版社), 2000. 139.
- [11] MA Chang-hua, et al(马长华, 等). Chinese Traditional Medicine(中药材), 1995, 18(7): 662.
- [12] YAO Gui-gen, et al(姚桂根, 等). Chinese J. Pharmaceutical Anal. (药物分析杂志), 1984, 4(1): 28.
- [13] YAO Gui-gen, et al(姚桂根, 等). Chinese Traditional Patent Medicine Study(中成药研究), 1986, (10): 10.
- [14] LI Guang-dao, et al(李光道, 等). J. Tongji Medical Courses in General University(同济医科大学学报), 1995, 24(4): 289.
- [15] YUAN Hai-long, et al(袁海龙, 等). Pharm. J. Chin. PLA(解放军药学学报), 2000, 16(3): 152.
- [16] WANG Chun-ying, et al(王春英, 等). Acta Pharmaceutical Sinica(药学学报), 2002, 37(12): 955.
- [17] LU Jing, et al(鲁 静, 等). Research on Shizhen Medicine of the Nation(时珍国医国药), 2001, 12(9): 104.

Determination of 2,3,5,4'-Tetrahydroxystilbene-2-O- β -D-Glucoside in the Traditional Chinese Preparation by High Performance Liquid Chromatography with Chemiluminescence Detection

WEI Hong-qing^{1,2}, LIU Er-bao^{1*}, REN Rong-fang¹, ZHAO Xiu-li², LI Xiao-xia², JIANG Feng-xian²

1. School of Chemistry and Life Sciences, Tianjin Normal University, Tianjin 300074, China

2. College of Chemistry and Materials Science, Shanxi Normal University, Linfen 041004, China

Abstract Based on the chemiluminescence reaction of KMnO₄-HNO₃-2,3,5,4'-tetrahydroxystilbene-2-O- β -D-glucoside sensitized by HCHO, an analytical method for 2,3,5,4'-tetrahydroxystilbene-2-O- β -D-glucoside by RP-HPLC with chemiluminescence detector was developed. The chromatographic conditions were optimized. An ODS hypersil column(25 mm×4.0 mm, 125×4.0 mm i. d. 5 μ m) was used with acetonitrile-0.3% H₃PO₄[25:75, (φ)] as mobile phase, and the flow rate was 0.8 mL·min⁻¹ at the column temperature of 40 °C. The linear range of calibration curve was from 15.75 to 136.5 μ g·mL⁻¹, the detection limit was 11.83 μ g·mL⁻¹ with a concentration of 21 μ g·mL⁻¹ of 2,3,5,4'-tetrahydroxystilbene-2-O- β -D-glucoside, and the recovery was 102%-108%. The relative standard deviation was 3.45%(Cs=21.0 μ g·mL⁻¹, n=3). The method has been applied to the determination of 2,3,5,4'-tetrahydroxystilbene-2-O- β -D-glucoside in a few Chinese medicines, and the results were satisfactory. The method was simple, rapid and highly selective.

Keywords HPLC; Chemiluminescence; Potassium permanganate; 2,3,5,4'-tetrahydroxystilbene-2-O- β -D-glucoside

(Received Dec. 16, 2003; accepted Mar. 28, 2004)

* Corresponding author